

# AOD - sprawozdanie nr 1

Wiktor Bachta

Październik 2024

## 1 DFS o BFS

### 1.1 Algorytm

Zastosowałem standardowe algorytmy DFS i BFS. Nie skorzystałem z wersji rekurencyjnej DFS. Zastosowałem algorytm ze stosem dla DFS i algorytm z kolejką dla BFS. W algorytmie przy wierzchołku przechowuję także jego rodzica (predecessor), aby można było odtworzyć drzewo przeszukiwania. Algorytmy mają złożoność liniową -  $O(V + E)$ .

## 1.2 Grafy

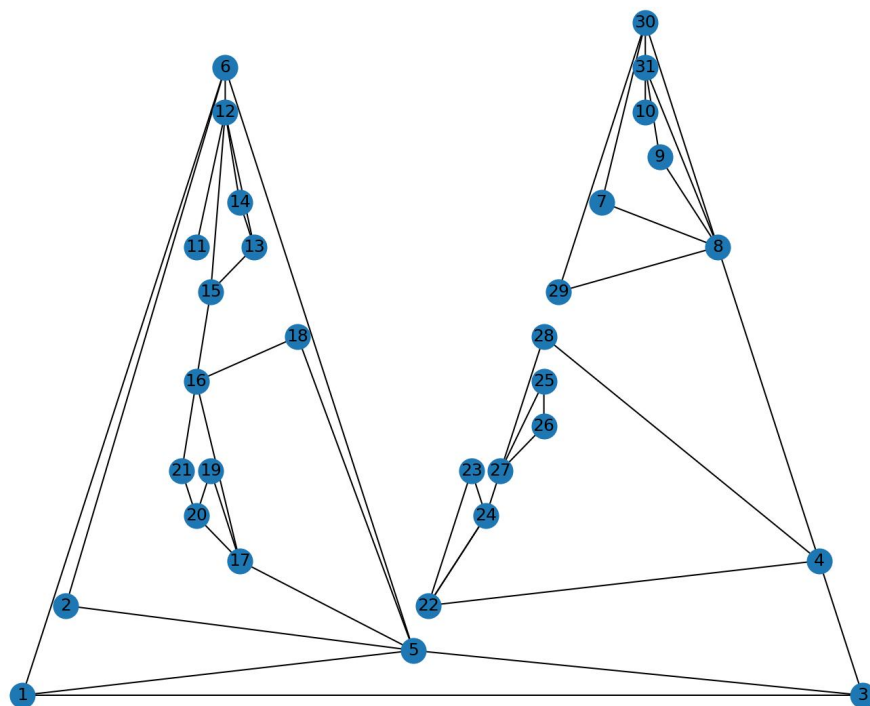


Figure 1: Graf nieskierowany

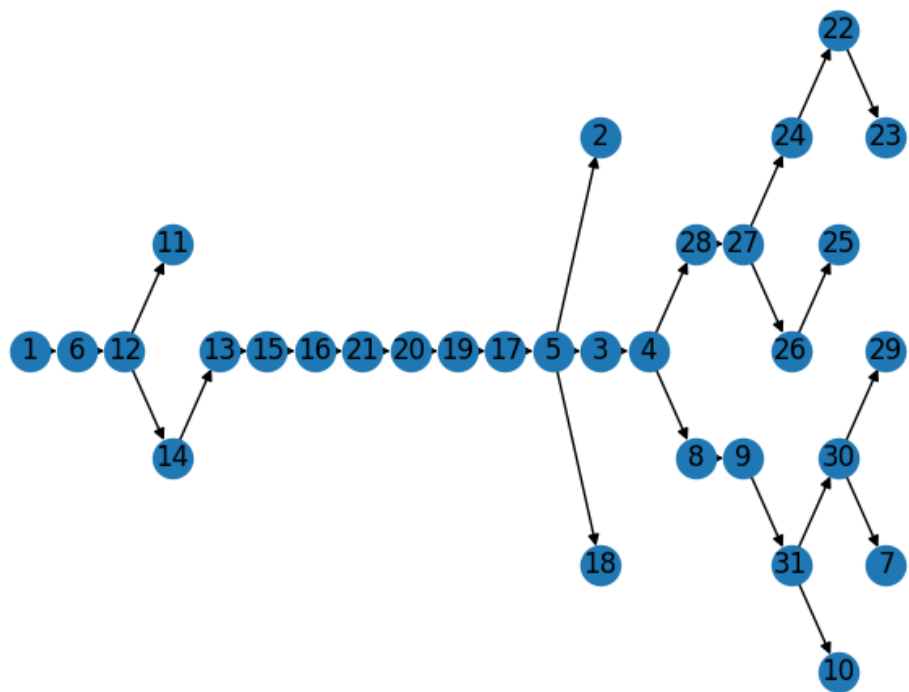


Figure 2: Drzewo DFS

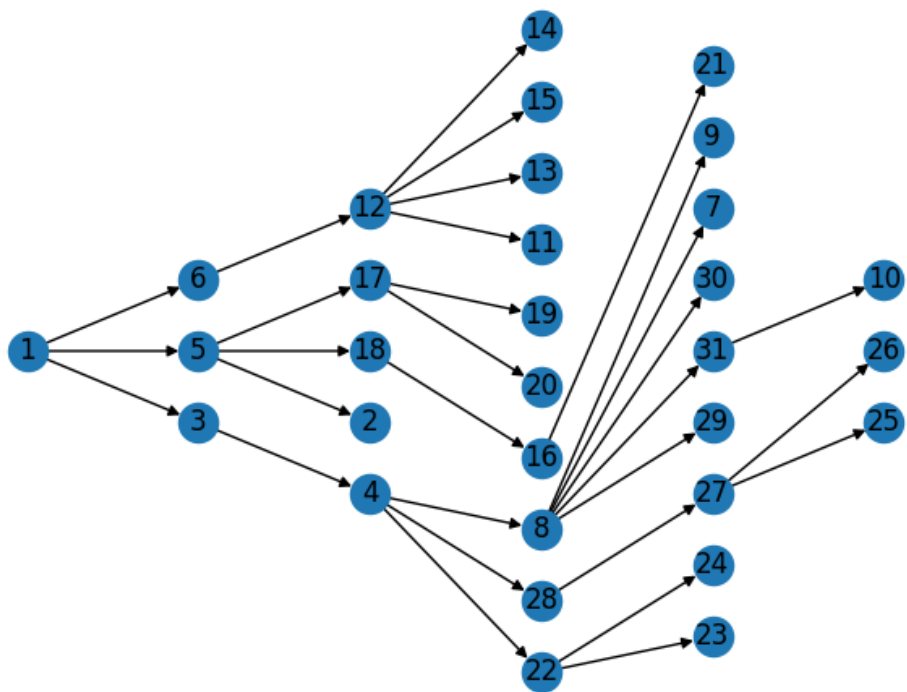


Figure 3: Drzewo BFS

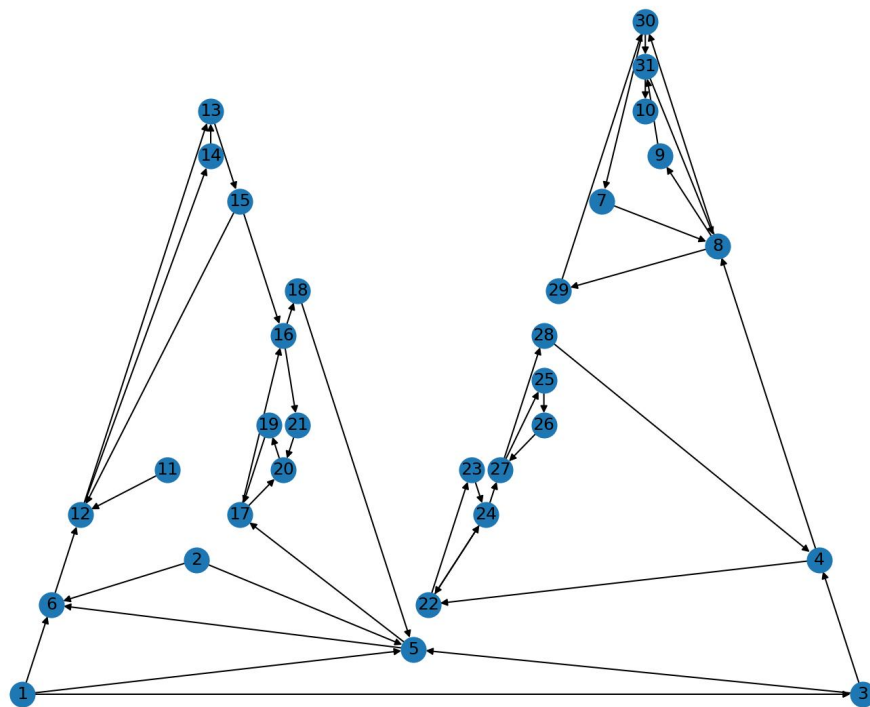


Figure 4: Graf skierowany

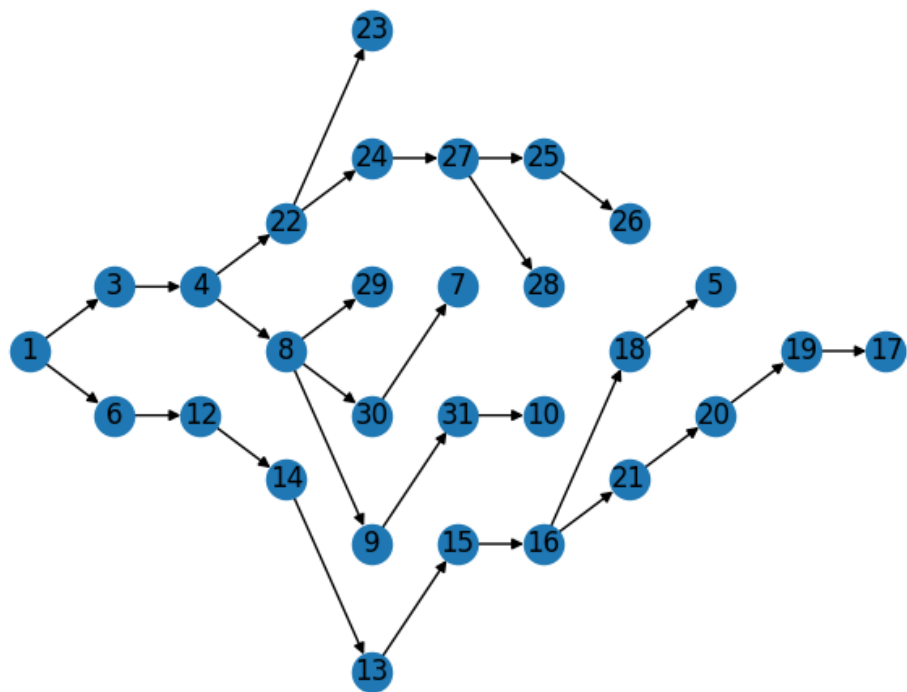


Figure 5: Drzewo DFS

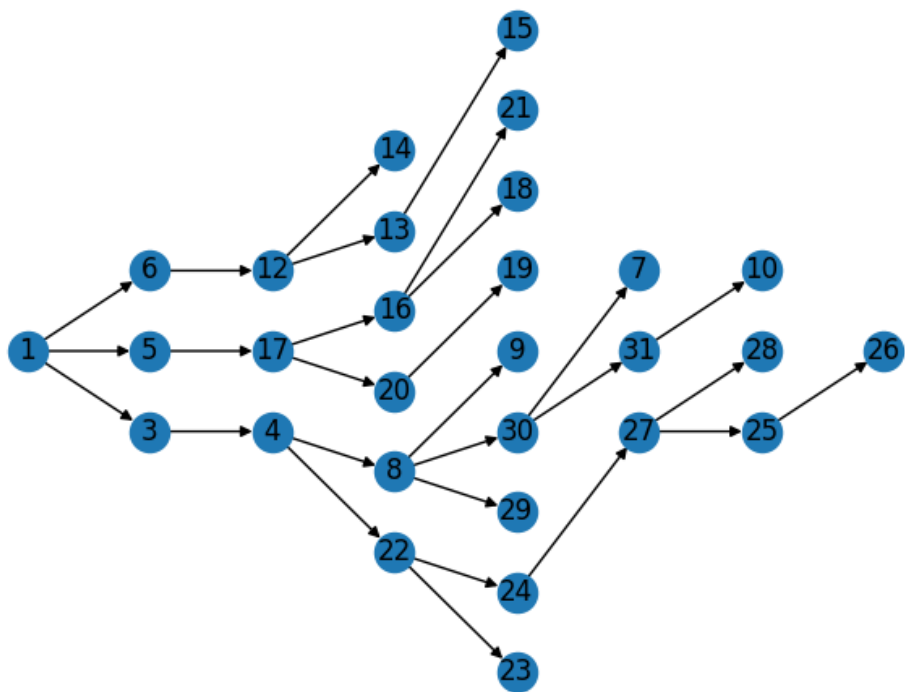


Figure 6: Drzewo BFS

### 1.3 Wyniki

Table 1: DFS

nr grafu	wynik
1	1-> 6-> 12-> 14-> 13-> 15-> 16-> 21-> 20-> 19-> 17-> 5-> 18-> 3-> 4-> 8-> 9-> 31-> 10-> 30-> 7-> 29-> 28-> 27-> 26-> 25-> 24-> 22-> 23-> 2-> 11
2	1-> 6-> 12-> 14-> 13-> 15-> 16-> 21-> 20-> 19-> 17-> 18-> 5-> 3-> 4-> 8-> 9-> 31-> 10-> 30-> 7-> 29-> 22-> 24-> 27-> 28-> 25-> 26-> 23

Table 2: BFS

nr grafu	wynik
1	1-> 3-> 5-> 6-> 4-> 2-> 18-> 17-> 12-> 22-> 28-> 8-> 16-> 20-> 19-> 11-> 13-> 15-> 14-> 23-> 24-> 27-> 29-> 31-> 30-> 7-> 9-> 21-> 25-> 26-> 10
2	1-> 3-> 5-> 6-> 4-> 17-> 12-> 22-> 8-> 20-> 16-> 13-> 14-> 23-> 24-> 29-> 30-> 9-> 19-> 18-> 21-> 15-> 27-> 31-> 7-> 25-> 28-> 10-> 26

## 1.4 Czasy

Table 3: DFS

nazwa	skierowany	$ V  +  E $	czas [ $\mu s$ ]
g3-1.txt	skierowany	55	8759
g3-2.txt	skierowany	292	12228
g3-3.txt	skierowany	2617	575506
g3-4.txt	skierowany	25952	662466
g3-5.txt	skierowany	259689	1650979
g3-6.txt	skierowany	2598908	13701511

Table 4: BFS

nazwa	skierowany	$ V  +  E $	czas [ $\mu s$ ]
g3-1.txt	skierowany	55	1793
g3-2.txt	skierowany	292	2286
g3-3.txt	skierowany	2617	12561
g3-4.txt	skierowany	25952	115375
g3-5.txt	skierowany	259689	1579917
g3-6.txt	skierowany	2598908	17243703



## 2 Sortowanie topologiczne

### 2.1 Algorytm

Zastosowałem wersję algorytmu Kahna.

- Dla każdego wierzchołka przechwuję liczbę wchodzących krawędzi  $c$ .
- Wierzchołki o  $c = 0$  wrzucam na stos.
- Przy usuwaniu wierzchołka ze stosu dekrementuję  $c$  jego sukcesorów, i każdy sukcesor o  $c = 0$  wrzucam na stos.
- Kolejność wierzchołków zrzucanych ze stosu to porządek topologiczny.
- Jeżeli po opróżnieniu stosu istnieje wierzchołek o  $c \neq 0$ , to graf posiada skierowany cykl.

Algorytm ma złożoność liniową -  $O(V + E)$ .

## 2.2 Grafy

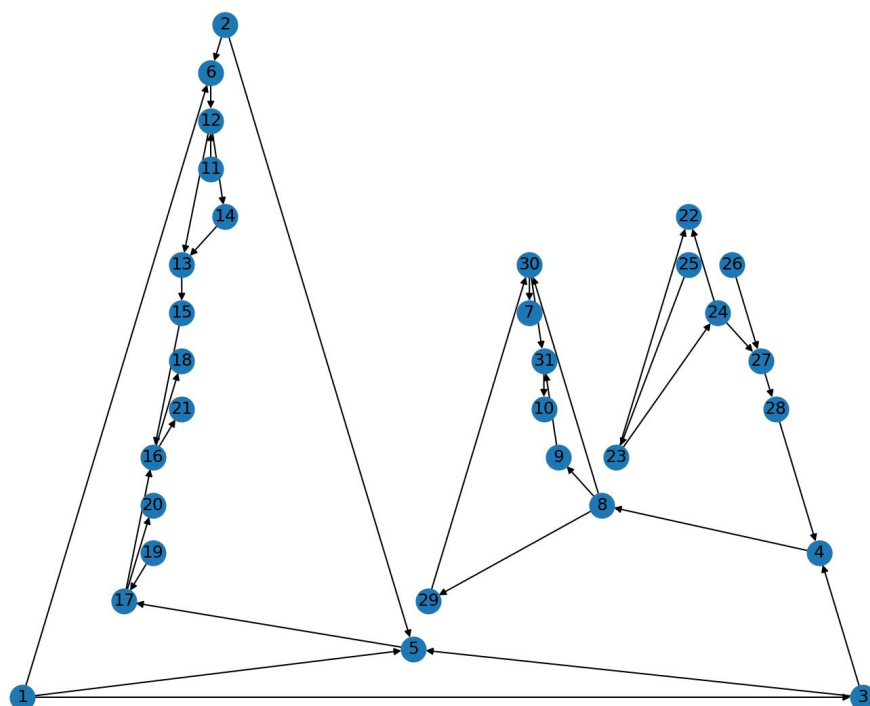


Figure 7: Graf bez cyklu skierowanego

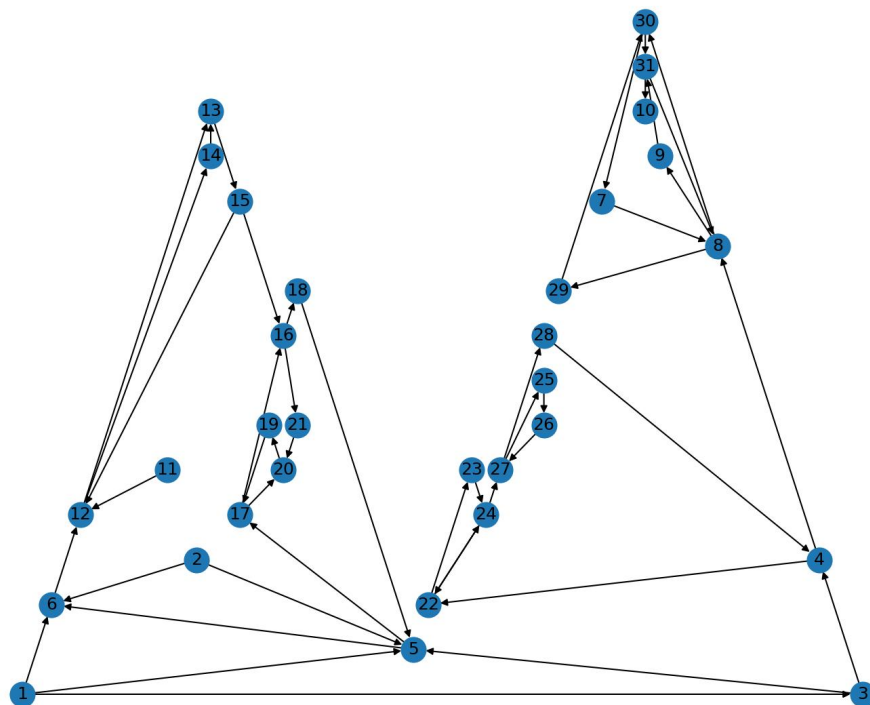


Figure 8: Graf z cyklem skierowanym

## 2.3 Wyniki

Table 5: BFS

nr grafu	wynik
1	26-> 25-> 23-> 24-> 27-> 28-> 22-> 19-> 11-> 2-> 1-> 6-> 12-> 14-> 13-> 15-> 3-> 5-> 17-> 16-> 21-> 18-> 20-> 4-> 8-> 9-> 29-> 30-> 7-> 31-> 10
2	Graf zawiera skierowany cykl

## 2.4 Czasy

Table 6: Sortowanie topologiczne

nazwa	skierowany	$ V  +  E $	czas [ $\mu s$ ]
g2a-1.txt	skierowany	49	2028
g2b-1.txt	skierowany	50	1636
g2a-2.txt	skierowany	361	3402
g2b-2.txt	skierowany	362	2918
g2a-3.txt	skierowany	6241	3703836
g2b-3.txt	skierowany	6242	21884
g2a-4.txt	skierowany	39601	225271
g2b-4.txt	skierowany	39602	165133
g2a-5.txt	skierowany	638401	10502435
g2b-5.txt	skierowany	638402	6528563
g2a-6.txt	skierowany	3996001	67542464
g2b-6.txt	skierowany	3996002	44771434

## 3 Silnie spójne składowe

### 3.1 Algorytm

Zastosowałem wersję algorytmu Tarjana do znajdowania silnie spójnych składowych w grafie skierowanym.

- Inicjuję licznik indeksów wierzchołków  $index = 0$ , a dla każdego wierzchołka ustawiam  $index[v] = -1$  oraz  $lowlink[v] = -1$ .
- Przechodzę przez każdy wierzchołek grafu, a jeżeli  $index[v] = -1$ , wywołuję procedurę DFS dla wierzchołka  $v$ .
- W procedurze DFS ustawiam  $index[v]$  oraz  $lowlink[v]$  na bieżący indeks, po czym inkrementuję  $index$ .
- Dodaję  $v$  na stos i oznaczam go jako będący na stosie.
- Dla każdego sąsiada  $w$  wierzchołka  $v$ :
  - Jeżeli  $w$  nie był odwiedzony, wywołuję rekurencyjnie DFS dla  $w$ , a następnie aktualizuję  $lowlink[v] = \min(lowlink[v], lowlink[w])$ .
  - Jeżeli  $w$  jest na stosie, aktualizuję  $lowlink[v] = \min(lowlink[v], index[w])$ .
- Po zakończeniu przetwarzania sąsiadów, jeżeli  $lowlink[v] = index[v]$ , oznacza to początek silnie spójnej składowej:
  - Usuwam wierzchołki ze stosu, aż do  $v$ , tworząc nową składową.

Algorytm Tarjana wykonuje tę procedurę dla każdego wierzchołka, odwiedzając każdy tylko raz, dzięki czemu jego złożoność czasowa wynosi  $O(V + E)$ , gdzie  $V$  to liczba wierzchołków, a  $E$  to liczba krawędzi w grafie.

## 3.2 Grafy

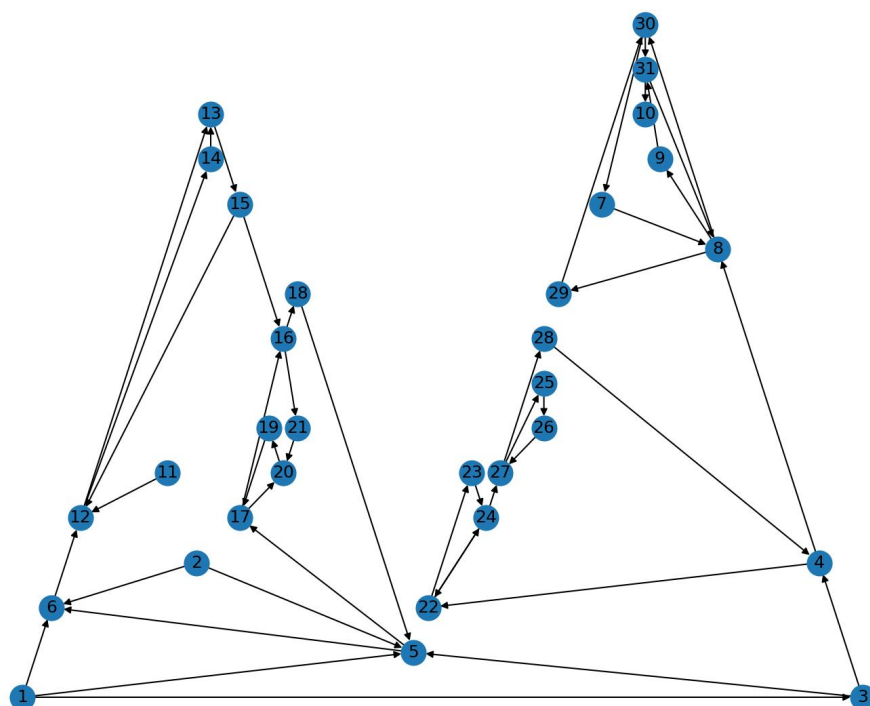


Figure 9: Graf złożony z 8 silnie spójnych składowych

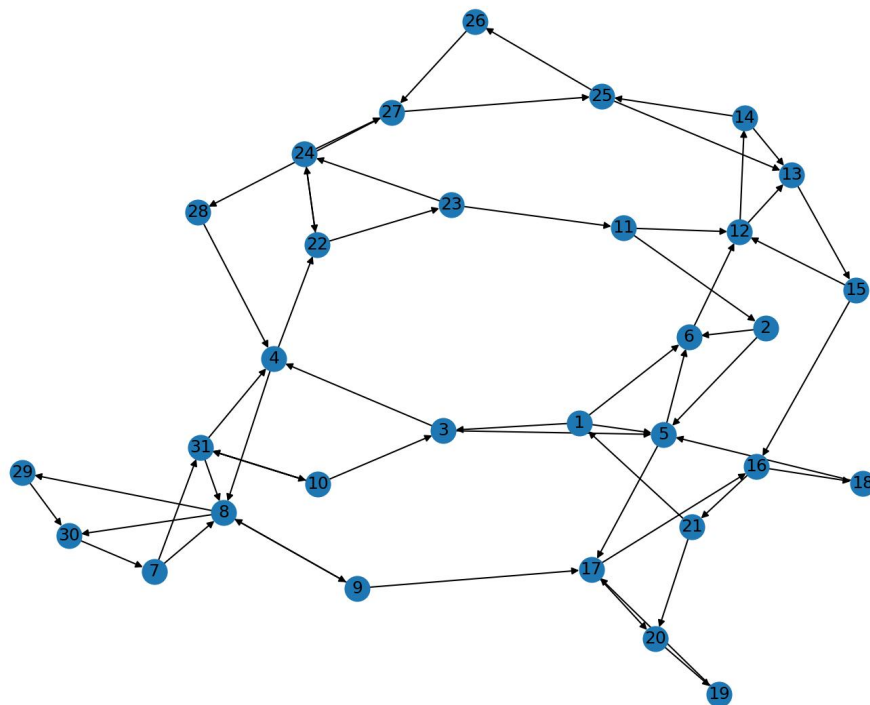


Figure 10: Graf silnie spójny

### 3.3 Wyniki

Table 7: BFS

nr grafu	wynik
1	Liczba silnie spójnych składowych 8 Rozmiar komponentu 1: 1 10 Rozmiar komponentu 2: 6 9, 7, 31, 30, 29, 8 Rozmiar komponentu 3: 8 28, 26, 25, 27, 24, 23, 22, 4 Rozmiar komponentu 4: 12 14, 17, 19, 20, 21, 18, 16, 15, 13, 12, 6, 5 Rozmiar komponentu 5: 1 3 Rozmiar komponentu 6: 1 1 Rozmiar komponentu 7: 1 2 Rozmiar komponentu 8: 1 11
2	Liczba silnie spójnych składowych 1 Rozmiar komponentu 1: 31 9, 10, 31, 7, 30, 29, 8, 2, 11, 28, 21, 19, 20, 17, 6, 5, 18, 16, 14, 12, 15, 13, 26, 25, 27, 24, 23, 22, 4, 3, 1

### 3.4 Czasy

Table 8: Silnie spójne składowe

nazwa	skierowany	$ V  +  E $	czas [ $\mu s$ ]
g3-1.txt	skierowany	55	9250
g3-2.txt	skierowany	292	23920
g3-3.txt	skierowany	2617	4544626
g3-4.txt	skierowany	25952	675758
g3-5.txt	skierowany	259689	10483782
g3-6.txt	skierowany	2598908	109814100



## 4 Dwudzielność

### 4.1 Algorytm

Zastosowałem zmodyfikowany algorytm DFS, który koloruje wierzchołki na czarno i biało. Dla każdego sukcesora odwiedzonego wierzchołka w algorytmie:

- Jeśli sukcesor  $v$  nie był odwiedzony to koloruję go na kolor przeciwny  $v$ .
- W przeciwnym wypadku, jeśli kolor sukcesora różni się o koloru  $v$ , to graf nie jest dwudzielny.

Złożoność algorytmu jest liniowa, jak DFS, bo zastosowane modyfikacje dodają stałą liczbę operacji.

Dla grafów skierowanych, aby algorytm działał poprawnie, należy traktować je jako nieskierowane.

## 4.2 Grafy

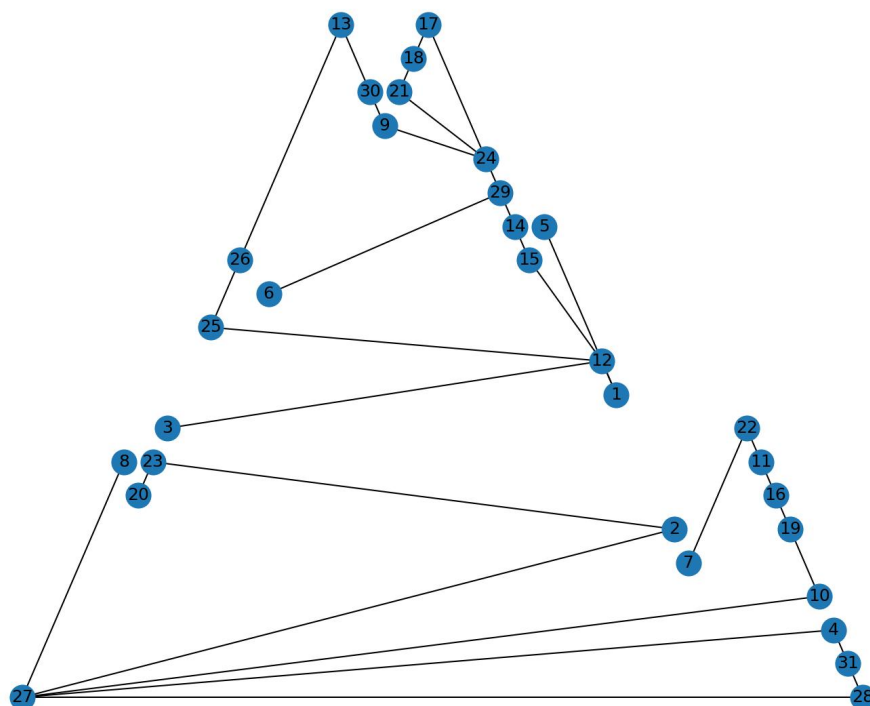


Figure 11: Graf nieskierowany dwudzielny

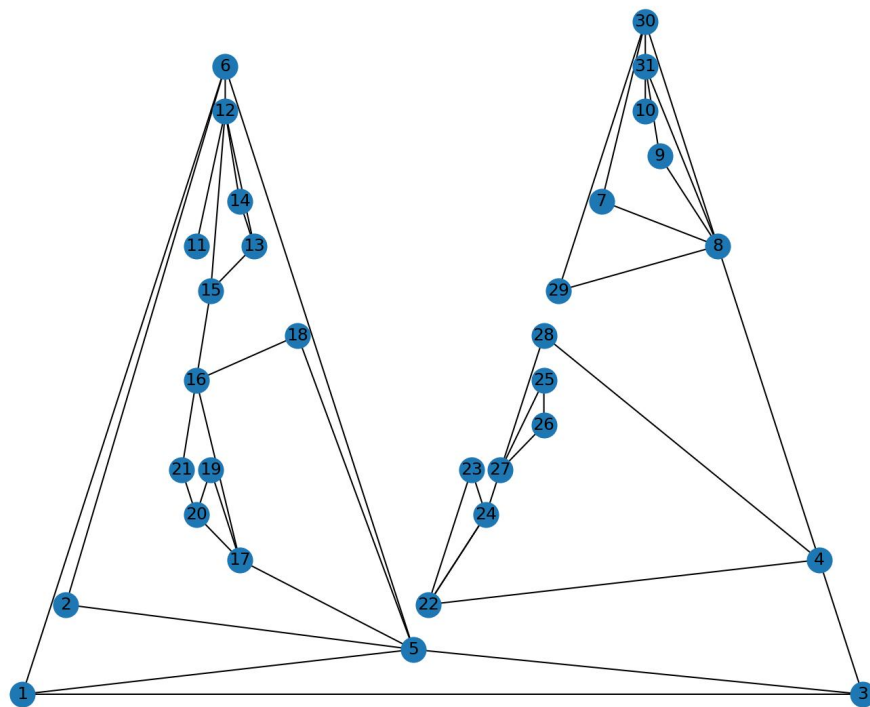


Figure 12: Graf nieskierowany niedwudzielny

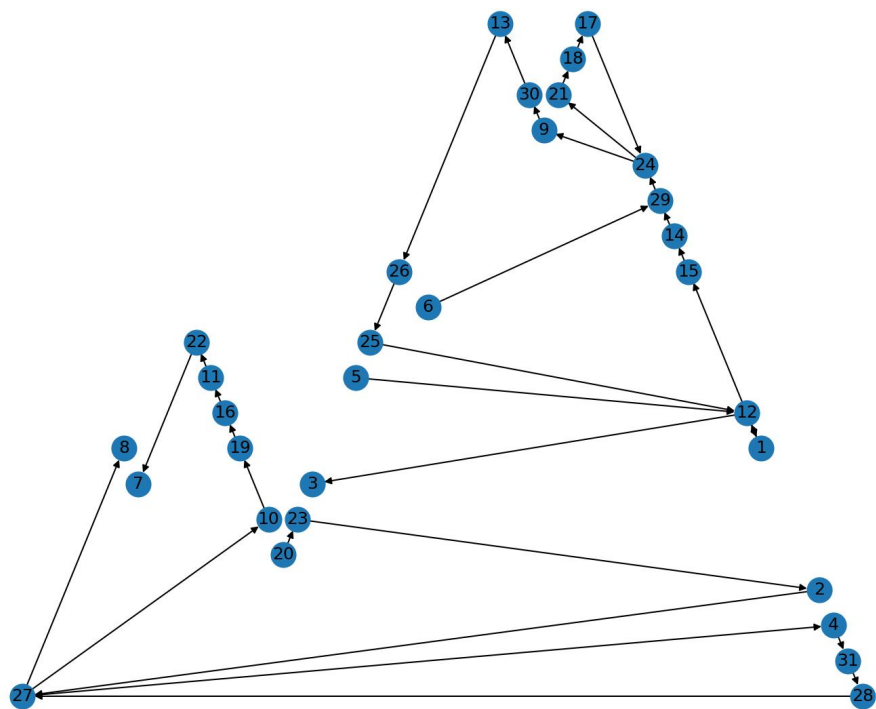


Figure 13: Graf skierowany dwudzielny

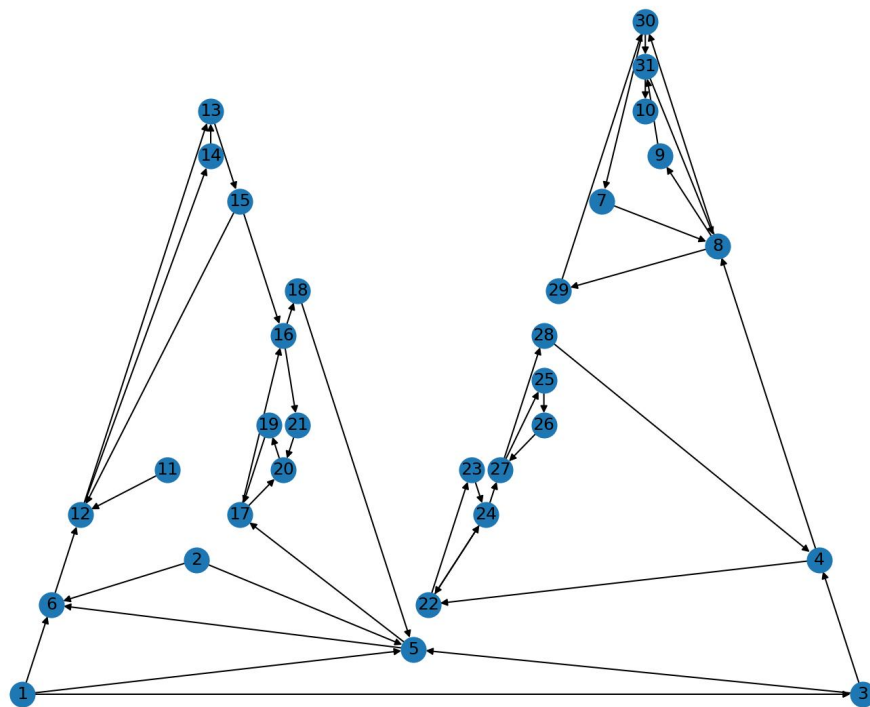


Figure 14: Graf skierowany niedwudzielny

### 4.3 Wyniki

Table 9: BFS

nr grafu	wynik
1	Wierzchołki niebieskie: 6, 7, 11, 12, 14, 18, 19, 23, 24, 26, 27, 30, 31 Wierzchołki czerwone: 1, 2, 3, 4, 5, 8, 9, 10, 13, 15, 16, 17, 20, 21, 22, 25, 28, 29
2	Graf nie jest dwudzielny
3	Wierzchołki niebieskie: 6, 7, 11, 12, 14, 18, 19, 23, 24, 26, 27, 30, 31 Wierzchołki czerwone: 1, 2, 3, 4, 5, 8, 9, 10, 13, 15, 16, 17, 20, 21, 22, 25, 28, 29
4	Graf nie jest dwudzielny

## 4.4 Czasy

Table 10: Dwudzielnosc

nazwa	skierowany	$ V  +  E $	czas [ $\mu s$ ]
d4a-1.txt	skierowany	40	7816
d4b-1.txt	skierowany	41	5743
u4a-1.txt	nieskierowany	37	3861
u4b-1.txt	nieskierowany	37	2871
d4a-2.txt	skierowany	280	22518
d4b-2.txt	skierowany	281	26752
u4a-2.txt	nieskierowany	317	17342
u4b-2.txt	nieskierowany	317	12263
d4a-3.txt	skierowany	4720	167435
d4b-3.txt	skierowany	4721	137632
u4a-3.txt	nieskierowany	2557	116079
u4b-3.txt	nieskierowany	2557	42739
d4a-4.txt	skierowany	29800	5713498
d4b-4.txt	skierowany	29801	930030
u4a-4.txt	nieskierowany	40957	1163949
u4b-4.txt	nieskierowany	40957	738358
d4a-5.txt	skierowany	479200	26118637
d4b-5.txt	skierowany	479201	20099911
u4a-5.txt	nieskierowany	327677	9742945
u4b-5.txt	nieskierowany	327677	6568739
d4a-6.txt	skierowany	2998000	170479454
d4b-6.txt	skierowany	2998001	111266864
u4a-6.txt	nieskierowany	2621437	79547959
u4b-6.txt	nieskierowany	2621437	53376522